

следов колёс. Кроме снижения сопротивления качению за счет прокладывания меньшего количества колей (меньшей деформации грунтовой поверхности), этот путь позволяет получить и меньшую разницу проходимых колесами расстояний с определенным уменьшением действующих на колёса продольных и боковых сил, а следовательно, и коэффициентов использования сил сцепления.

Расчеты показывают, что на деформируемых грунтовых поверхностях при статическом повороте с минимальным радиусом при полном совпадении следов колес одного борта сопротивление качению представленных автомобилей всего лишь на 15...25 % больше, чем при прямолинейном их движении. Необходимо, правда, отметить, что такие величины соответствуют установленвшемуся повороту. На практике же при входе автомобилей в поворот и выходе из него при отсутствии электрического или гидрообъёмного привода к колёсам величины сопротивления качению заметно возрастают.

Во-вторых, полученные результаты показывают, что при определенных величинах радиуса поворота, которые могут быть получены экспериментальным или расчетным путём, целесообразно отключение блокирования дифференциалов. Например, при повороте автомобиля Урал-4320-31 на сухом сыпучем песке при радиусе поворота менее 20 м. Но при полностью дифференциальном приводе к колесам наименьшие коэффициенты сопротивления качению и особенно использования сцепных сил могут быть достигнуты только при определенных соотношениях крутящих моментов на колёсах, различных для разных грунтовых поверхностей и радиусов поворота. Простые же механические дифференциалы обеспечивают лишь одно распределение моментов по осям (колесам), поэтому при меняющихся грунтовых условиях выключение блокирования дифференциалов может привести к потере проходимости.

Таким образом, для существенного улучшения маневренности полноприводных автомобилей необходимо обеспечить и меняющееся распределение моментов, и соответствующую траекториям перемещения (радиусам поворота) колёс частоту их вращения без буксования или с одинаковым буксованием. Это может быть реализовано только при применении регулируемых электрических или гидрообъемных приводов к колёсам автомобиля.

### Литература

1. Аксенов П.В. Многоосные автомобили: Теория общих конструктивных решений. – М.: Машиностроение, 1989.
2. Чистов М.П., Шухман С.Б., Комаров В.А. Влияние различных параметров автомобилей на показатели криволинейного движения по деформируемым грунтам. Материалы работы ААИ в 1998 году (доклады, тезисы). – Дмитров, 1998.
3. Оценка и выбор пневматических шин регулируемого давления для армейских автомобилей/ В.Н. Абрамов, М.П. Чистов, И.В. Веселов, А.А. Колтуков; Под ред. В.В. Шипилова. – ФГУП 21 НИИ МО РФ, 2006.
4. ГОСТ Р В 52395-2005. Шины пневматические с регулируемым давлением для военной техники. – М.: Издательство стандартов, 2005.

### Современные тенденции управления автомобильным электроприводом

к.т.н. Жматов Д.В., Горкин В.П., Пахомова Е.Э.

Московский институт энергобезопасности энергосбережения,

Университет машиностроения,

(495)652-20-04, [absh-sila@rambler.ru](mailto:absh-sila@rambler.ru), (495)223-05-23, доб. 1574, [gorval169@yandex.ru](mailto:gorval169@yandex.ru),  
[light62@mail.ru](mailto:light62@mail.ru)

**Аннотация.** В статье осуществлен обзор вентильного электропривода на контроллере IRMCS3041 компании International Rectifier. Представлены аппаратно-программные средства для определения и сравнения параметров электроприводов. Измерительный комплекс разработан на кафедре «Электротехника и элек-

**Ключевые слова:** вентильный электропривод, энергетические характеристики двигателя, векторное управление, система *iMotion*.

Одним из перспективных классов электрических машин для электроприводов гибридных автомобилей являются двигатели переменного тока как асинхронные, так и вентильные.

Электродвигатели переменного тока подключаются от высоковольтной аккумуляторной Li-Ion или Ni-Cd батареи напряжением (400...600 В) через преобразователь постоянного тока в переменный (DC/AC). Управление таким электроприводом осуществлялось релейной «классической» схемой или с помощью частотного управления через преобразователь частоты напряжения питания.

Вентильные двигатели (ВД) имеют все достоинства двигателей постоянного тока по регулировочным и механическим характеристикам. Благодаря отсутствию механического коллектора они обладают высокой надежностью, большими отношениями «момент на единицу массы», бесконтактностью и отсутствием узлов, нуждающихся в обслуживании [1].

ВД обладают уникальным сочетанием свойств, недостижимым для других типов электрических машин (асинхронных, коллекторных постоянного тока, индукторных), а именно — высокой энергетической эффективностью, повышенными динамическими свойствами, малыми массой и габаритами, хорошей управляемостью. До недавнего времени основным фактором, препятствующим широкому внедрению ВД, являлась повышенная стоимость изготовления ротора с постоянными магнитами по сравнению с производством роторов для других типов электрических машин. Однако заметный прогресс как в производстве самих магнитов, так и в технологии сборки роторов привел в последнее время к заметному снижению стоимости ВД, а многообразие современных магнитных материалов и магнитных систем позволяет предельно гибко и эффективно проектировать ВД с заданными параметрами. Более того, использование новейших достижений в областях силовой и информационной электроники позволяет реализовывать различные алгоритмы управления ВД для обеспечения регулирования выходных параметров электроприводов.

Однако в состав классических ВД входит узел датчика положения ротора (ДПР), что существенно удорожает конструкцию и предполагает наличие проводной связи этого узла с электронным преобразователем, управляющим работой ВД. Поэтому во всем мире проводятся интенсивные работы по созданию синхронных двигателей с возбуждением от постоянных магнитов без ДПР, в которых определение углового положения ротора осуществляется системой управления [2].

Обычно включение электроприводов переменного тока осуществлялось по схеме классического прямого пуска, что требовало больших затрат мощности от источника питания.

На рисунке 1 приведена типовая релейная схема подключения двигателя переменного тока.

В настоящее время применительно к вентильным двигателям существуют и более совершенные системы управления, например векторное управление [3].

Идея управления основывается на использовании выражения для момента двигателя в форме:

$$M = \frac{1}{2} mp \Psi_{\delta} i_s \sin \varphi_{\Psi_i}, \quad (1)$$

где:  $m$ ,  $p$  – число фаз и пар полюсов двигателя;

$\Psi_{\delta}$  - результирующее потокосцепление на пару полюсов, обусловленное потоками в за-

зоре, создаваемыми токами статора и ротора;

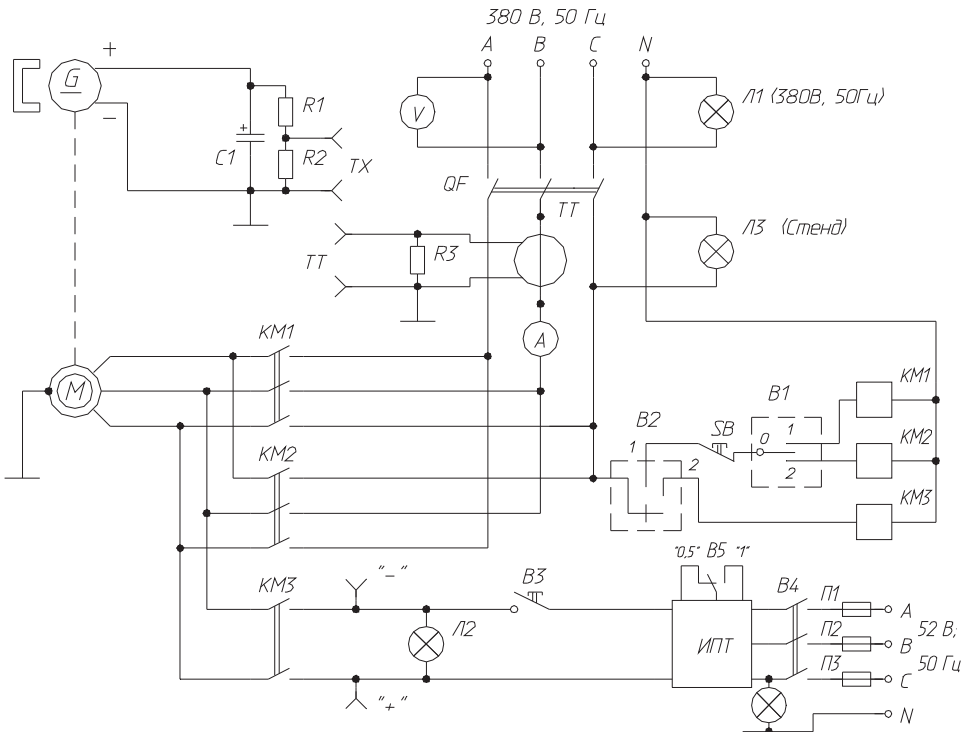
$i_s$  – ток статора;

$\varphi_{\Psi_i}$  - угол между векторами потокосцепления и тока  $\dot{\Psi}_{\delta}$  и  $\dot{I}_s$ .

Управляя величинами  $i_s$  и  $\varphi_{\Psi_i}$  в соответствии с информацией о реальных значениях

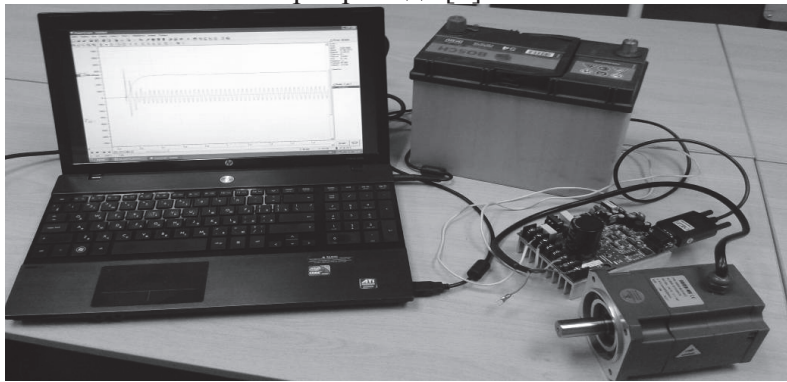
## Серия 1. Наземные транспортные средства, энергетические установки и двигатели.

потокосцеплений  $\Psi_p$ , токов  $i_s$  и скоростей ротора можно организовать управление моментом  $M$  и скоростью  $n_2$ . При этом можно обеспечить механические и регулировочные характеристики вентильного двигателя.



**Рисунок 1. Электрическая схема управления вентильным автомобильным электроприводом**

Компания International Rectifier предлагает систему управления ВД, которая называется iMotion. При разработке системы iMotion компанией International Rectifier для определения положения ротора был применен алгоритм на жесткой логике — Motion Control Engine (MCE). Участие микроконтроллера заключается лишь в конфигурировании параметров MCE. Это позволяет применять простой и дешевый микроконтроллер без снижения быстродействия и качества работы системы электропривода [3].

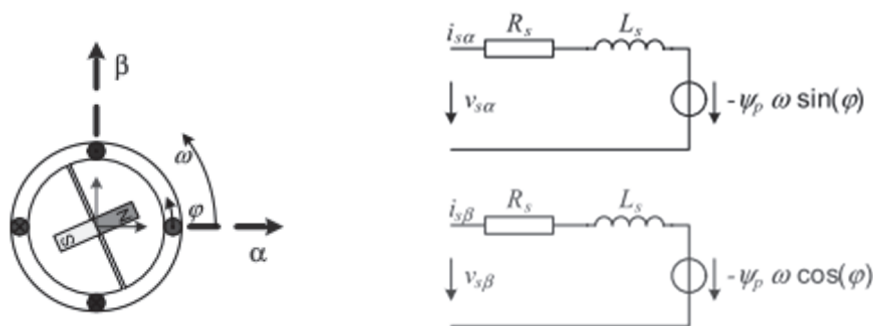


**Рисунок 2. Система управления вентильным двигателем**

Чтобы достичь максимального момента вращения, алгоритм токового управления с обратной связью по скорости использует положение угла ротора для синхронизации токов двигателя с потоком ротора. На рисунке 2 показан общий вид системы управления ВД с контроллером IRMCS3041.

Расчетная математическая модель схемы замещения цепей обмоток ротора и статора ВД для векторного управления (рисунок 3) представлена в виде систем уравнений (2, 3):

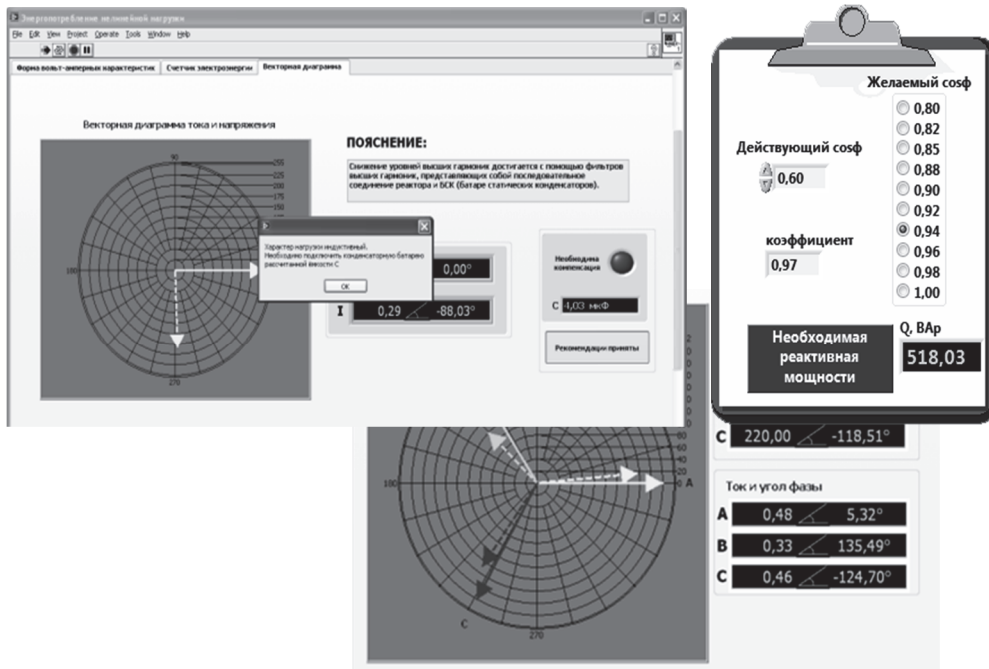
$$\begin{cases} \Psi_{sa} = L \cdot I_{sa} + \Psi_{pa} = L \cdot I_{sa} + \Psi_p \cos(\phi) \\ \Psi_{sb} = L \cdot I_{sb} + \Psi_{pb} = L \cdot I_{sb} + \Psi_p \cos(\phi) \end{cases} \quad (2)$$



**Рисунок 3. Схемы замещения цепей обмоток ротора и статора ВД для векторного управления**

Потокосцепление статора в формуле (2) зависит от индуктивности и тока обмотки  $L, i_s$ , а также потокосцепления ротора  $\Psi_p$ , обеспечиваемого постоянным магнитом. Напряжение на статоре в формуле (3) зависит от активного сопротивления и тока обмотки  $R, i_s$ , а также от производной потока статора.

$$\begin{cases} U_{sa} = R \cdot i_{sa} + \frac{d\Psi_{sa}}{dt} = R \cdot i_{sa} + L \frac{di_{sa}}{dt} - \Psi_p \frac{d\phi}{dt} \sin(\phi) \\ U_{s\beta} = R \cdot i_{s\beta} + \frac{d\Psi_{s\beta}}{dt} = R \cdot i_{s\beta} + L \frac{di_{s\beta}}{dt} + \Psi_p \frac{d\phi}{dt} \cos(\phi) \end{cases} \quad (3)$$



**Рисунок 4. Векторные диаграммы**

Для оценки эффективности электропривода и его схемы управления разработан аппаратно-программный комплекс, который позволяет осуществить:

- измерение значения действующих напряжений и силы переменного тока в трехфазной сети;
- измерение активной, реактивной и полной мощности, определение коэффициента мощности в трехфазной сети;
- измерение частоты основной гармоники сетевого напряжения;
- измерение угла между напряжением и током в каждой фазе. Построение векторных диаграмм;
- измерение гармонических составляющих токов и напряжений в интервале до 50-й гармо-

ники;

- отображение уровней гармоник напряжения и тока в виде графика амплитудного спектра;
- определение коэффициента нелинейных искажений по напряжению и току;
- определение несимметрии напряжений по нулевой и обратной последовательности;
- регистрация параметров сети электроснабжения с установленной частотой и сохранение их в электронные счетные таблицы MS Excel.

На векторной диаграмме (рисунок 4) показано потребляемое напряжение и ток из трехфазной сети электродвигателем переменного тока со следующими параметрами  $U_h = 380$  В,  $I_h = 2,4$  А, общей мощностью 0,75 кВт. Система также определяет необходимую реактивную составляющую для выбора компенсирующих устройств [4].

При расчете компенсационных устройств реактивной мощности для производственных помещений используется база технологических знаний системы, из которой оператору предоставляется необходимый коэффициент мощности.

### Выводы

1. Проведенные исследования схемы векторного управления компании International Rectifier для управления бездатчиковым вентильным электродвигателем показали ее эффективность и пригодность для автомобильных электроприводов, работающих в режимах пуска, торможения и реверса, т.е. в переходных режимах. Блок управления контроллером IRMCS3041 также обеспечивает эффективное энергосбережение и рекуперацию энергии.
2. Использование разработанного измерительного аппаратно-программного комплекса позволит оценивать основные энергетические параметры автомобильных электроприводов с двигателями переменного тока и выбрать нужную схему электронного управления при их конструировании.

### Литература

1. Горкин В.П., Зубков А.С., Розовская М.А. Анализ программных продуктов для расчета магнитных систем датчиков положения ротора для вентильных двигателей. Диагностика и надежность энергооборудования. // Энергобезопасность и энергосбережение М.: ПТФ-МИЭЭ, 2013 – № 2. – с. 33 – 37.
2. Сизякин А., Румянцев М. Без датчика положения ротора: решения компании IR для управления вентильными двигателями. Новости электроники. 2011 – № 10. – с. 22-28.
3. Овчинников И. Е. Вентильные электрические двигатели и привод на их основе. – С-Пб.: Корона-Век, 2012. – с. 57–74.
4. Жматов Д.В. Модели и методы идентификации нелинейных искажений в электрических сетях в информационно-управляющих интегрированных комплексах электроснабжения: автореф. дис. канд. техн. наук: 05.13.06/ Жматов Дмитрий Владимирович. - М.: 2012. 23 с.